

NOM : LEROUVILLOIS

Prénom : Vincent

Jury :

Algèbre \leftarrow Entourez l'épreuve \rightarrow Analyse

Sujet choisi : Leçon 183. Bouycantes dans un espace affine réel de dimension finie, convexité. Applications

Autre sujet :

Soit E un espace affine réel de direction E , de dimension finie d .
 E est naturellement muni d'une topologie induite par la topologie de E .

(I) - Bouycantes et coordonnées bouycantiques

1) Bouycantes

Def 1: Un système de points ponctués $(A_1, \vec{v}_1), \dots, (A_n, \vec{v}_n)$ est la donnée de n points de E et de n vecteurs $\vec{v}_1, \dots, \vec{v}_n$.

Prop/Df 2: Soit $(A_1, \vec{v}_1), \dots, (A_n, \vec{v}_n)$ un système de points ponctués tel que $\sum_{i=1}^n \vec{v}_i \neq 0$. Alors il existe un unique point G de E tel que $\sum_{i=1}^n \vec{v}_i = \vec{G} A_i$ appelé le barycentre de $(A_1, \vec{v}_1), \dots, (A_n, \vec{v}_n)$ et noté

$$G = \text{Bar}((A_1, \vec{v}_1), \dots, (A_n, \vec{v}_n))$$

Exemple 3: Soient A, B deux points distincts de E .

$$(AB) = \{ \text{Bar}(A, \vec{v}), (B, \vec{1}-\vec{v}) \mid \vec{v} \in \mathbb{R} \}$$

Thm 4: (Homogénéité) Soient (A_i, \vec{v}_i) $i \in \{1, \dots, n\}$ avec $\sum_{i=1}^n \vec{v}_i = 0$.

et $\lambda \in \mathbb{R}^*$. alors $\text{Bar}((A_i, \vec{v}_i)) = \text{Bar}((A_i, \lambda \vec{v}_i))$

Thm 5: (Associativité) Soient (A_i, \vec{v}_i) $i \in \{1, \dots, n\}$ avec $\forall i \sum_{j \neq i} \vec{v}_j \neq 0$ et $\sum_{i=1}^n \vec{v}_i \neq 0$. Alors $\text{Bar}((A_i, \vec{v}_i)) = \text{Bar}((G, \sum_{i=1}^n \vec{v}_i))$ dans E ,

$$\text{où } G := \text{Bar}((A_i, \vec{v}_i))_{i \in \{1, \dots, n\}}$$

Def 6: On appelle rébouycante de A_1, \dots, A_n le barycentre de $(A_i, \vec{1})_{i \in \{1, \dots, n\}}$

Application 7: Les médianes d'un triangle sont concourantes en leur centre de gravité qui est égal à $\frac{1}{3}$ de la somme de chaque médiane.

Application 8: L'incobouycante d'un parallélélogramme est aussi le milieu de diagonale de ses diagonales.

2) Sont avec les sous-espaces affines et les applications affines

Prop 3: $\mathcal{F} \subseteq E$ est un sous-espace affine de E si et seulement si

\mathcal{F} est stable par barycentre.

Coro 10: Le sous-espace affine engendré par une partie $A \subseteq E$, noté $\text{Aff}(A)$ est l'ensemble des barycentres de points de A .

Exemple 11: $\text{Aff}(\{A, B, C\}) = (AB) \cup (AC) \cup (BC)$ si A, B, C ne sont pas alignés.

Prop 12: Une application $f: E \rightarrow E'$ entre espaces affines est affine si et seulement si pour tout système de points ponctués (A_i, \vec{v}_i) avec $\sum_{i=1}^n \vec{v}_i = 0$ $f(\text{Bar}(A_i, \vec{v}_i)) = \text{Bar}(f(A_i), \vec{v}_i)$

3) Repérage et coordonnées bouycantiques

Def 13: (A_0, \dots, A_d) est un repère affine si et seulement si $(\vec{A}_0 \vec{A}_1, \dots, \vec{A}_d \vec{A}_0)$ est une base de E .

Exemple 14: Donné un plan affine, son triangle marin arbitraire est un repère affine.

Prop 15: Soit $R = (A_0, \dots, A_d)$ un repère affine de E . Pour tout $M \in E$, il existe un unique $(d+1)$ -uplet de réels (r_0, \dots, r_d) tels que $\sum_{i=0}^d r_i = 1$ et $M = \text{Bar}((A_i, \vec{r}_i))$ (appelé les coordonnées bouycantiques de M dans le repère R).

Exemple 16: Soit A, B, D, C un parallélogramme d'un plan affine.

A, B, C est un repère affine et $A(1, 0)$ $B(0, 1)$ $C(1, 1)$ $D(-1, 1)$ et $G(0, \frac{1}{2}, \frac{1}{2})$ sont les coordonnées bouycantiques de G et D respectivement.

Prop 17: (Interprétation au sens de volume). Les coordonnées bouycantiques d'un point $M(x_0, y_0)$ dans un repère affine A, B, C sont données par

$$x = \frac{|MA|, |MB|}{|AB|, |AC|}, y = \frac{|MC|, |MA|}{|AC|, |AB|}, s = \frac{|MA, MB|}{|AB, AC|}, \text{ et éliminants}$$

pris dans une base quelconque.

4) Équations barycentriques

Prop 18: Soit $\Lambda = \{A_1, A_2\}$ une famille de points affines tels que ayant pour coordonnées barycentriques $(a_{ij})_{\begin{subarray}{l} i,j \\ 1,2 \end{subarray}}$ dans un repère affine R .

Alors $M \in \text{Aff}(\{\Lambda_1, \Lambda_2\}) \iff \begin{pmatrix} a_{1,1} & \dots & a_{1,n} \\ \vdots & \ddots & \vdots \\ a_{2,1} & \dots & a_{2,n} \end{pmatrix}$ est dans $R+1$

Cor 19: L'équation barycentrique d'un hyperplan \mathcal{H} de E est de la forme:

$$a_1x_1 + \dots + a_nx_n = 0 \quad \text{ou} \quad (a_1 - a_0)x_0 + \dots + (a_n - a_0)x_n = 0$$

Exemple 20: Dans un repère affine du plan affine, A, B et C sont alignés

ssi $\begin{vmatrix} a_1 & b_1 & c_1 \\ a_2 & b_2 & c_2 \\ a_3 & b_3 & c_3 \end{vmatrix} = 0$.

Lemma 21: Trois droites D, D' et D'' d'un plan affine et l'équation barycentriques

des un repère affine $a_1x_1 + b_1x_2 + c_1x_3 = 0$, $a'_1x_1 + b'_1x_2 + c'_1x_3 = 0$ et $a''_1x_1 + b''_1x_2 + c''_1x_3 = 0$ sont concourantes si et seulement si $\begin{vmatrix} a_1 & b_1 & c_1 \\ a'_1 & b'_1 & c'_1 \\ a''_1 & b''_1 & c''_1 \end{vmatrix} = 0$

DEMI

Application 22: (Théorème de Menelaus) Soit A, B, C un triangle non aplati.

Soient $A' \in [BC]$, $B' \in [AC]$ et $C' \in [AB]$ distinctes des sommets. Alors A', B' et C' sont alignés ssi $\frac{AA'}{A'B} \cdot \frac{BB'}{B'C} \cdot \frac{CC'}{CA} = 1$.

Application 23: (Théorème de Céva) Anne le mère intérieur à la droite (AA') , (BB') et (CC') sont concourantes si et seulement si $\frac{AA'}{A'B} \cdot \frac{BB'}{B'C} \cdot \frac{CC'}{CA} = -1$

II - Convexe et enveloppe convexe

1) Parties convexes

Def 24: Soit $A \subseteq E$. Une combinaison convexe de A est un barystrophe de points $(A_{1,1}, \dots, A_{1,n})$ de A avec $d_{1,0} \leq \dots \leq d_{1,n}$

Exemple 25: Si $A, B \in E$, $[AB]$ est l'ensemble des combinaisons convexes de $\{A, B\}$.

Def 26: Une partie C de E est convexe si $\forall A, B \in C$, $[AB] \subseteq C$

Prop 27: C est convexe si et si C est stable par combinaison convexe.

Exemple 28: - les convexes de \mathbb{R} sont les intervalles.

- les sous-espaces affines sont convexes

- les bornes de E sont convexes (la borne nulle de $(\mathbb{R}^3, \|\cdot\|_\infty)$ est un cube).

- les demi-espaces fermés et les demi-espaces ouverts sont convexes.

Prop 29: Si C est convexe, alors \bar{C} et \bar{C}' sont aussi convexes.

Exercice 30: Si C est fermé et si C est stable par milieux, alors C est convexe. Montrez que cela n'est pas forcément vrai si C n'est pas fermé.

Prop 31: Si $f : E \rightarrow E'$ est affine, C est un convexe de E et C' est un convexe de E' , alors $f(C)$ et $f^{-1}(C')$ sont convexes.

Prop 32: Une partie convexe de E est convexe par arcs.

Prop 33: L'image d'un convexe par une application continue n'est pas forcément convexe.

2) Enveloppe convexe

Prop 34: Soit $(C_i)_{i \in I}$ une famille de convexes. Alors $\bigcap_{i \in I} C_i$ est convexe.

Def 35: L'enveloppe convexe de $A \subseteq E$, notée $C_v(A)$ est l'intersection des convexes de E contenant A . C'est le plus petit convexe contenant A .

Prop 36: $C_v(A)$ est l'ensemble des combinaisons convexes de A .

Exemple 37: L'enveloppe convexe de deux points distincts est un segment. L'enveloppe convexe de trois points non alignés est un triangle.

Théorème 38: (de Lucas) Si $P \in CLX$ non constant. Toute droite de P appartient à l'enveloppe convexe des racines de P .

Def 39: On appelle simplexe plein l'enveloppe convexe d'un repère affine de \mathbb{R}^n .

Thm 40: (Carathéodory) Soit S une partie de \mathbb{R}^n . Tout élément de $C(S)$ est l'intersection d'un plus d'un simplexe plein et d'un simplexe convexe à sa frontière.

Corollaire 41: L'enveloppe convexe d'un compact est simplexe convexe.

Corollaire 42: Si A est simplement fermé, $C(A)$ n'est pas forcément fermé. $\mathbb{R} = \mathbb{R}^2$, $A = \mathbb{R} \times [0,1] \cup \{0\}$, $C(A) = (\mathbb{R} \times [0,1]) \cup \{0\}$ n'est pas fermé.

Prop 43: Tout compact est l'enveloppe convexe de sa frontière.

Exemple 44: $C_{\mathbb{R}}(\mathcal{S}_d(0,1)) = \mathcal{B}_d(0,1)$

(III) — Résultats sur les convexes et applications

- 1) Résultats de séparation

Thm 45: (Propriété du simplexe fermé). Soit E un espace affine euclidien et C un convexe fermé non vide et A un point n'appartenant pas à C . Il existe un unique point P , projeté de A sur C vérifiant $AP = d(A,C)$. L'hypothèse contenue dans P est orthogonale à \overrightarrow{PA} et un hyperplan d'appui de C qui sépare A de C .

Thm 46 (de Hahn-Banach): Soit C un convexe fermé et K un convexe compact tel que $C \cap K = \emptyset$. Il existe un hyperplan affine séparant strictement C et K .

Application 47: L'enveloppe convexe de $\text{On}(\mathbb{R})$ dans $\text{Mn}(\mathbb{R})$ est la trace unité de $\text{Mn}(\mathbb{R})$ pour la norme $\| \cdot \|_1$.

Prop 48: Un convexe fermé de \mathbb{R}^n est l'intersection des demi-espaces fermés de contenant. C'est aussi l'intersection des demi-espaces fermés de contenant et qui sont déterminés par des hyperplans d'appui.

2) Points extrémaux

Def 49: Soit C un convexe de \mathbb{R}^n . Un point M de C est extrémal si M n'est pas le milieu de deux points distincts de C . On note $\text{Ext}(C)$ l'ensemble des points extrémaux.

Thm 50: MEC est extérieur si $\forall M \in C$ $A + M \neq B + M \neq [A, B]$ si M n'est pas l'intersection convexe de points de C distincts de M si $C \setminus \{M\}$ est convexe.

Thm 51 (Krein-Milman) Pour tout convexe compact non vide K de \mathbb{R}^n , on a $K = \text{Cl}(\text{Ext}(K))$.

Exemple 52: les points extrémaux de la boule unité de \mathbb{R}_{+}^{n+1} pour $\|\cdot\|_2$ sont exactement les matrices orthogonales.

Application 53: Autre démonstration du fait que $C_{\mathbb{R}}(\mathcal{O}_{nn}(\mathbb{R})) = \mathcal{B}_{\frac{n(n+1)}{2}}(\mathbb{R}^n)$

Exemple 54: Dans l'ensemble des matrices stochastiques, les matrices ne contenant que des 0 et des 1 sont les points extrémaux.

3) Polyèdres convexes

Def 55: Un polyèdre convexe est l'enveloppe convexe d'un nombre fini de points non coplanaires d'un espace affine de dimension 3.

Rq 56: Un polyèdre convexe et compact est d'intérieur non vide. Ses points extrémaux sont les sommets du polyèdre.

Prop 57 (Euler) les nombres d_H de sommets, d'arêtes, de faces vérifient $d_H - d_F = 2$

Cor 58: les cinq solides platoniciens sont les seuls polyèdres convexes réguliers.

4) Fonction convexe

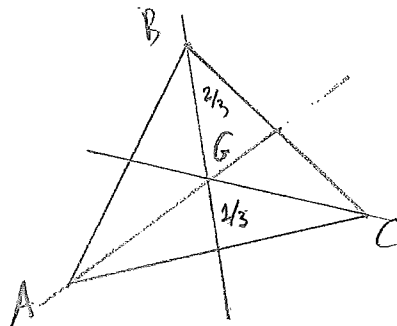
Def 59: Soit C un convexe. Une fonction $f: C \rightarrow \mathbb{R}$ est convexe si et seulement si

$$\forall M, N \in C^2, \forall t \in [0,1], f(tM + (1-t)N) \leq t f(M) + (1-t) f(N)$$

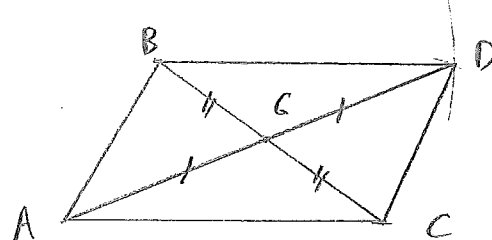
Prop 60: (Inégalité) Si f est convexe, alors $\forall A_1, \dots, A_n \in C$ et $\lambda_1, \dots, \lambda_n \geq 0 / \sum_{i=1}^n \lambda_i = 1$ alors $f\left(\sum_{i=1}^n \lambda_i A_i\right) \leq \sum_{i=1}^n \lambda_i f(A_i)$

Prop 61: (Inégalité dualité simplexe) $\forall x_1, \dots, x_n \in \mathbb{R}^n_+, \left(\prod_{i=1}^n x_i\right)^{\frac{1}{n}} \leq \frac{\sum_{i=1}^n x_i}{n}$

Annexe:

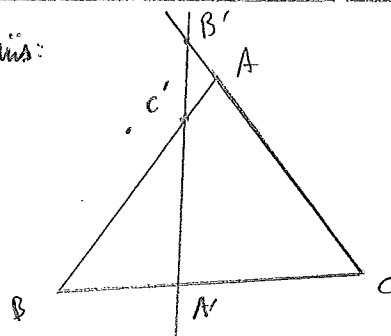


les médianes d'un triangle sont concourantes



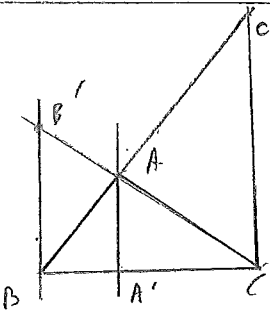
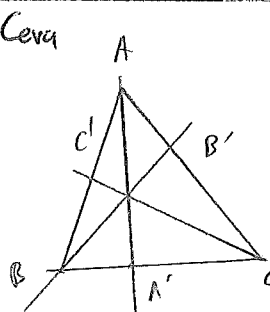
L'isobarycité des parallélogramme et le milieu des diagonales du parallélogramme.

Menelaüs:



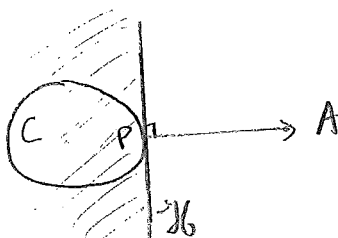
$$A', B', C' \text{ alignés} \Leftrightarrow \frac{\overline{A'B}}{\overline{AC}} \frac{\overline{B'C}}{\overline{BA}} \frac{\overline{C'A}}{\overline{CB}} = 1$$

Ceva

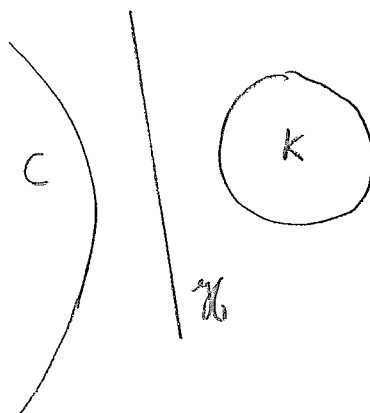


$$(AA'), (BB'), (CC') \text{ concourantes ou parallèles} \Leftrightarrow \frac{\overline{A'B}}{\overline{AC}} \frac{\overline{B'C}}{\overline{BA}} \frac{\overline{C'A}}{\overline{CB}} = -1$$

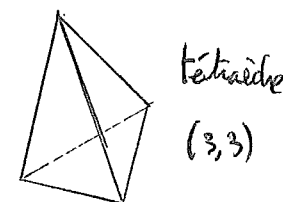
Projection sur un cercle fermé



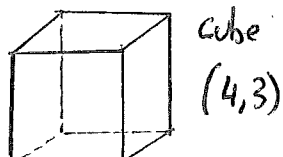
Théorème de Hahn Banach



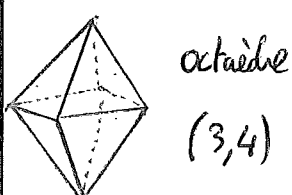
Solides de Platон: - (m, n) m est le nombre d'arêtes par face. n est le nombre d'arêtes issues de chaque sommet.



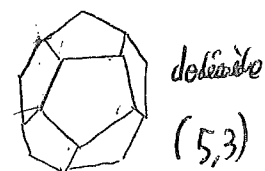
tétrahèdre
(3,3)



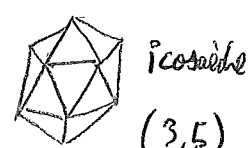
cube
(4,3)



octaèdre
(3,4)



dodecaèdre
(5,3)



icosaèdre
(3,5)

- $O_n(\mathbb{R})$ est compact dans $M_n(\mathbb{R})$.

Donc d'après les Lemmes ① et ②, il suffit de montrer que

$$\forall M \in \mathcal{B} \text{ et } \forall A \in M_n(\mathbb{R}) \quad \text{Tr}(AM) \leq \sup_{P \in O_n(\mathbb{R})} \text{Tr}(AP)$$

. Par décomposition polaire, il existe $\mathcal{D} \in O_n(\mathbb{R})$ et $S \in S_n^+(\mathbb{R})$ telle que $A = \mathcal{D}S$

Soit $(e_i)_{i \in \llbracket 1, n \rrbracket}$ une base orthonormée de vecteurs propres de S .

On a alors $\text{Tr}(AM) = \text{Tr}(PA) = \sum_{i=1}^n \langle MAe_i, e_i \rangle$ (car (e_i) est une base orthonormée)

$$= \sum_{i=1}^n \langle Ae_i, {}^t P e_i \rangle$$

Par l'inégalité de Cauchy-Schwarz $\leq \sum_{i=1}^n \|Ae_i\|_2 \|{}^t P e_i\|_2$

Or $\|{}^t P e_i\|_2 = \|Pe_i\|_2 \leq 1$ car $P \in \mathcal{B}$

et $\|Ae_i\|_2 = \|\mathcal{D}Se_i\|_2 = \|Se_i\|_2$ car $\mathcal{D} \in O_n(\mathbb{R})$

D'où $\text{Tr}(AM) \leq \sum_{i=1}^n \|Se_i\|_2 = \text{Tr}(S)$

Par ailleurs, $\sup_{P \in O_n(\mathbb{R})} \text{Tr}(AP) \geq \text{Tr}(A \mathcal{D}^{-2}) = \text{Tr}(\mathcal{D}^{-2}A) = \text{Tr}(S)$

Donc $\forall M \in \mathcal{B} \quad \forall A \in M_n(\mathbb{R}) \quad \text{Tr}(AM) \leq \sup_{P \in O_n(\mathbb{R})} \text{Tr}(AP)$

Par les Lemmes ① et ②, on obtient que $\underline{\mathcal{B}} \subseteq C_r(O_n(\mathbb{R}))$

□

DEV 2: Enveloppe convexe du groupe orthogonal

Théorème: L'enveloppe convexe de $O_n(\mathbb{R})$ dans $M_n(\mathbb{R})$ est la boule unité de $M_n(\mathbb{R})$ pour la norme $\|\cdot\|_2$ et que l'on note B .

- $C_v(O_n(\mathbb{R})) \subseteq B$

En effet, $O_n(\mathbb{R}) \subseteq B$ car $\forall M \in O_n(\mathbb{R}), \|M\|_2 = 1$ et B est une boule donc est convexe donc $C_v(O_n(\mathbb{R})) \subseteq B$.

- Montons l'inclusion réciproque $B \subseteq C_v(O_n(\mathbb{R}))$

Lemme 1: Soit E un espace vectoriel de dimension finie et K un compact de E . Soit $x \in E$.

Si $\forall y \in E'$ on a $\varphi(x) \leq \sup_{y \in K} \varphi(y)$, alors $x \in C_v(K)$.

preuve: Par contreposée, si $x \in E \setminus C_v(K)$.

Comme K est compact, par le corollaire du théorème de Banach-Alaoglu, $C_v(K)$ est également compact.

Par le théorème de Hahn-Banach, il existe un hyperplan affine H séparant strictement le convexe compact $\{x\}$ du convexe compact $C_v(K)$. Donc il existe une forme linéaire $\varphi \in E'$ telle que $H = \varphi^{-1}(c)$ pour $c \in \mathbb{R}$. et $\forall y \in C_v(K) \quad \varphi(y) < c < \varphi(x)$

D'où $\sup_{y \in K} \varphi(y) \leq c < \varphi(x)$.

□

Déterminons $M_n(\mathbb{R})'$, le dual de $M_n(\mathbb{R})$.

Lemme 2: Le dual de $M_n(\mathbb{R})$ est l'ensemble des applications de la forme $M \mapsto T_\Gamma(AM)$ avec $A \in M_n(\mathbb{R})$

preuve: Définissons $\Phi: \begin{cases} M_n(\mathbb{R}) \rightarrow M_n(\mathbb{R})' \\ A \mapsto (M \mapsto T_\Gamma(AM)) \end{cases}$

• Φ est linéaire. Par le théorème du rang, Φ est bijective si Φ est injective.

• Supposons $A \in \ker \Phi$. Alors $\forall M \in M_n(\mathbb{R}), T_\Gamma(AM) = 0$.

Pour $M = A^T$ $T_\Gamma(A^T A) = \sum_{ij} |a_{ij}|^2 = 0$ donc $a_{ij} = 0 \quad \forall (i,j) \in \mathbb{N}_{\geq 1}^2$ d'où $A = 0$

Par conséquent, Φ est injective donc bijective

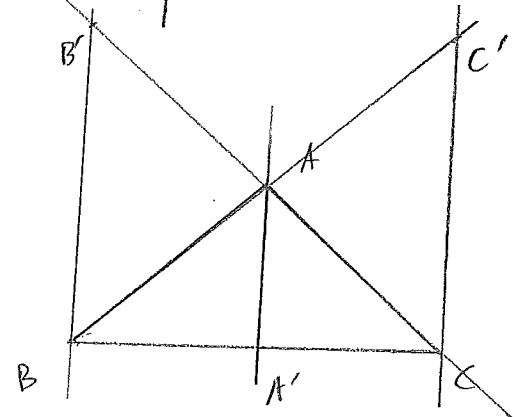
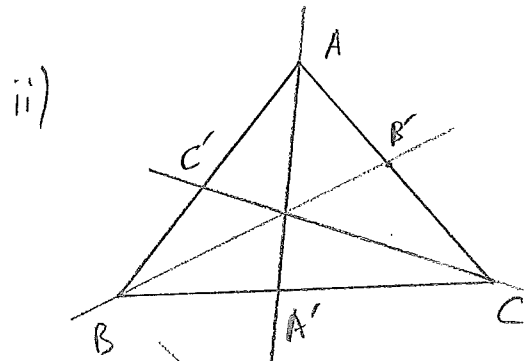
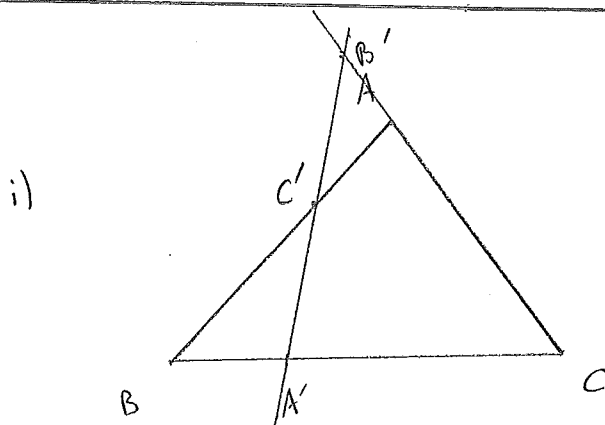
□

DEV1: Théorèmes de Menelaus et de Ceva

Théorème: i) Menelaus Soit A, B, C un triangle non aplati. Soient $A'E(BC)$, $B'E(AC)$ et $C'E(AB)$ distinctes des sommets. Alors A', B', C' sont alignés ssi $\frac{\overline{A'B}}{\overline{AC}} \frac{\overline{B'C}}{\overline{BA}} \frac{\overline{C'A}}{\overline{CB}} = 1$

iii) Ceva Les droites (AA') , (BB') et (CC') sont concourantes ou parallèles,

$$\text{ssi } \frac{\overline{A'B}}{\overline{AC}} \frac{\overline{B'C}}{\overline{BA}} \frac{\overline{C'A}}{\overline{CB}} = -1$$



Preuve: plâsons-nous dans le repère barycentrique défini par le triangle ABC . Soient (x_1, y_1, z_1) les coordonnées d'un point M dans ce repère.

$A' \in (BC) \setminus \{B, C\}$ donc $\exists d \in \mathbb{R} \setminus \{0, 1\} / A' = \text{Poul}(B, d), (C, 1-d)\}$

$$\text{Donc } d \overrightarrow{AB} + (1-d) \overrightarrow{AC} = 0 \quad \text{D'où} \quad \frac{\overline{A'B}}{\overline{AC}} = -\frac{(1-d)}{d}$$

et A' a pour coordonnées $\begin{pmatrix} 0 \\ d \\ 1-d \end{pmatrix}$ dans le repère A, B, C .

De même, $\exists \beta$ et $\gamma \in \mathbb{R} \setminus \{0, 1\} / \frac{\overline{B'C}}{\overline{BA}} = -\left(\frac{1-\beta}{\beta}\right)$, $\frac{\overline{C'A}}{\overline{CB}} = -\left(\frac{1-\gamma}{\gamma}\right)$

et $B' \begin{pmatrix} 1-\beta \\ 0 \\ \beta \end{pmatrix}$, $C' \begin{pmatrix} \gamma \\ 1-\gamma \\ 0 \end{pmatrix}$ dans le repère A, B, C .

Or d'après le lemme du plan, A', B', C' sont alignés ssi

$$\begin{vmatrix} 0 & 1-\beta & \gamma \\ \alpha & 0 & 1-\gamma \\ 1-\alpha & \beta & 0 \end{vmatrix} = 0$$

ssi $\frac{(1-\alpha)(1-\beta)(1-\gamma)}{\alpha \beta \gamma} = -1$

ssi $\frac{\overline{A'B}}{\overline{AC}}, \frac{\overline{B'C}}{\overline{BA}}, \frac{\overline{C'A}}{\overline{CB}} = -1$

Ce qui prouve le théorème de Menelaüs.

Pour le théorème de Ceva, écrivons l'équation de la droite (AA') , de (BB') et de (CC')

$M \in (AA')$ ssi A, A', M alignés ssi $\begin{vmatrix} 1 & 0 & x \\ 0 & 1 & y \\ 0 & 1-\alpha & z \end{vmatrix} = 0$ ssi $-(1-\alpha)y + \alpha z = 0$

$M \in (BB')$ ssi B, B', M alignés ssi $\begin{vmatrix} 0 & 1-\beta & x \\ 1 & 0 & y \\ 0 & \beta & z \end{vmatrix} = 0$ ssi $\beta x - (1-\beta)z = 0$

$M \in (CC')$ ssi C, C', M alignés ssi $\begin{vmatrix} 0 & \gamma & x \\ 0 & 1-\gamma & y \\ 1 & 0 & z \end{vmatrix} = 0$ ssi $-(1-\gamma)x + \gamma y = 0$

casse : Trois droites D, D', D'' d'un plan affine d'équations bayentiques dans un repère affine $a x + b y + c z = 0, a' x + b' y + c' z = 0, a'' x + b'' y + c'' z = 0$ sont concourantes ou parallèles ssi :

$$\begin{vmatrix} a & b & c \\ a' & b' & c' \\ a'' & b'' & c'' \end{vmatrix} = 0$$

Donc $(AA'), (BB')$ et (CC') sont concourantes ou parallèles ssi

$$\begin{vmatrix} 0 & \beta & -(1-\beta) \\ -(1-\alpha) & 0 & \gamma \\ \alpha & -(1-\beta) & 0 \end{vmatrix} = 0$$

ssi $-(1-\alpha)(1-\beta)(1-\gamma) + \alpha\beta\gamma = 0$

ssi $\frac{(1-\alpha)(1-\beta)(1-\gamma)}{\alpha\beta\gamma} = 1$

ssi $\frac{\overline{A'B}}{\overline{AC}}, \frac{\overline{B'C}}{\overline{BA}}, \frac{\overline{C'A}}{\overline{CB}} = -1$

preuve du lemme :

$$\begin{array}{l} \text{Si } D \text{ est d'équation } f(x_0, y_0, z_0) = ax_0 + by_0 + cz_0 = 0 \\ D' \quad // \quad g(x_0, y_0, z_0) = a'_0x_0 + b'_0y_0 + c'_0z_0 = 0 \\ D'' \quad // \quad h(x_0, y_0, z_0) = a''_0x_0 + b''_0y_0 + c''_0z_0 = 0 \end{array}$$

Si $\begin{vmatrix} a & a' & a'' \\ b & b' & b'' \\ c & c' & c'' \end{vmatrix} \neq 0$ alors on a par exemple un couple $(\lambda, \mu) \neq (0, 0)$ / $h = \lambda f + \mu g$.

Si D et D' sont sécantes en $\mathcal{P}(x_0, y_0, z_0)$, $h(x_0, y_0, z_0) = \lambda f(x_0, y_0, z_0) + \mu g(x_0, y_0, z_0)$ donc $\mathcal{P} \in D''$ et les 3 droites sont concourantes.

Si $D \parallel D'$, comme D est de direction $\langle \begin{pmatrix} a-c \\ b-c \end{pmatrix} \rangle$ et D' de direction $\langle \begin{pmatrix} a'-c' \\ b'-c' \end{pmatrix} \rangle$

$$D \parallel D' \Leftrightarrow \begin{vmatrix} a-c & a'-c' \\ b-c & b'-c' \end{vmatrix} = 0 \text{ mais alors } \begin{vmatrix} a-c & \lambda(a-c) + \mu(a'-c') \\ b-c & \lambda(b-c) + \mu(b'-c') \end{vmatrix} = 0 \text{ donc } D \parallel D''$$

Pour le sens réciproque, si les 3 droites sont confondues, c'est trivial.

Soit, on peut supposer $D \neq D'$.

Si D, D', D'' sont concourantes en \mathcal{P} . Soit $M(x_0, y_0, z_0) \in D'' \setminus \{r_0\}$.

On pose $\lambda = g(x_0, y_0, z_0)$ et $\mu = -f(x_0, y_0, z_0)$. on pose $\tilde{h} = \lambda f + \mu g$.

Par construction, $\tilde{h}(x_0, y_0, z_0) = 0$ et $\tilde{h}(x_0, y_0, z_0) = 0$ donc $D''(\mathcal{P}M) \subseteq \tilde{h}^{-1}(\{0\})$

et \tilde{h} est bien l'équation d'une droite car est de la forme $a''x + b''y + c''z = 0$ avec a'', b'', c'' non tous égaux car si $\tilde{h} \neq 0$ par exemple $(\lambda, \mu) \neq (0, 0)$ et $N \neq D'$ alors $f(x_0, y_0, z_0) = 0$ mais $h(x_0, y_0, z_0) \neq 0$ donc $N \notin \tilde{h}$

$$\text{donc } \begin{vmatrix} a & a' & a'' \\ b & b' & b'' \\ c & c' & c'' \end{vmatrix} = 0$$

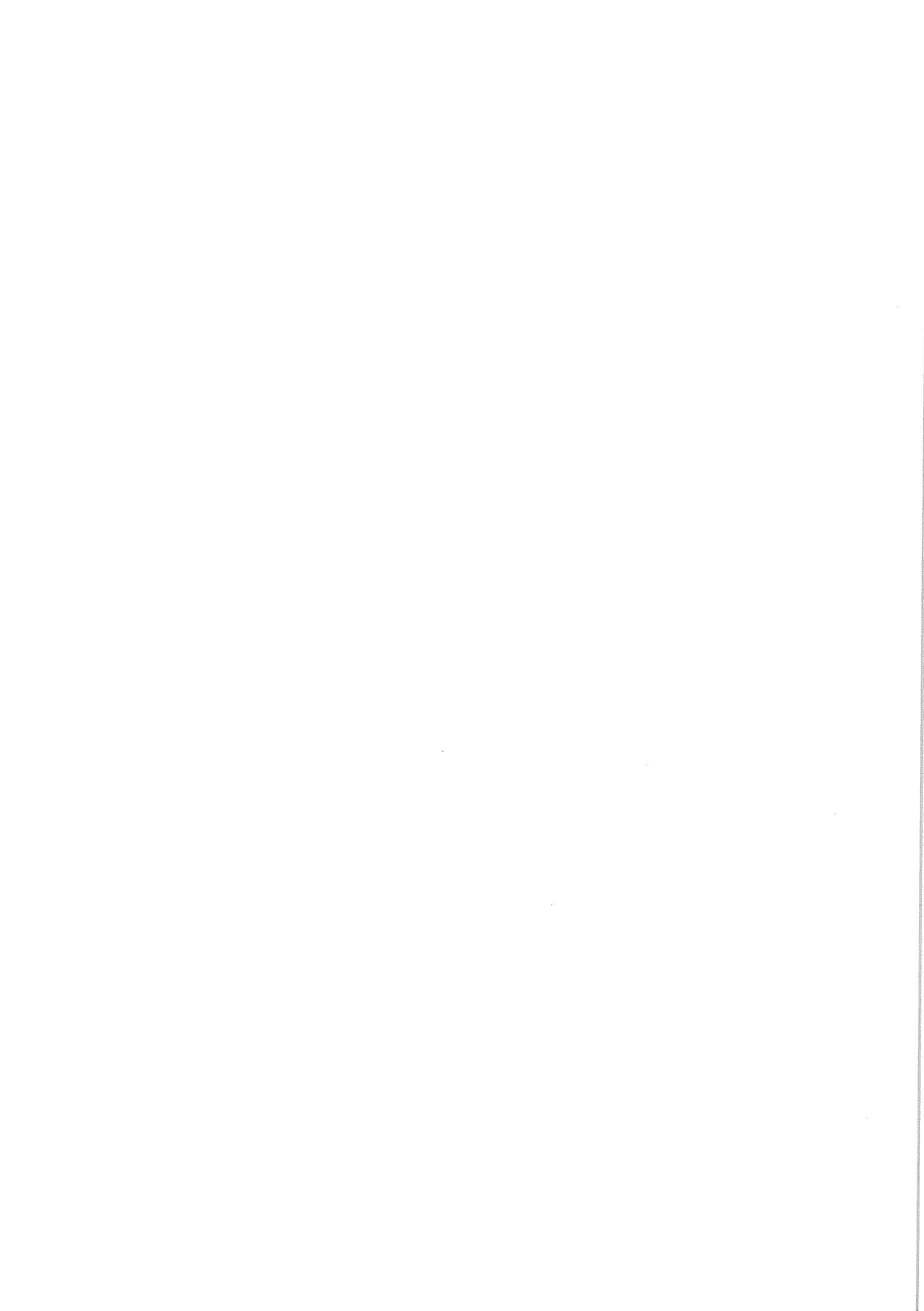
Si $D \parallel D' \parallel D''$, Soit $M(x_0, y_0, z_0) \in D''$. On pose $\lambda = g(x_0, y_0, z_0)$ et $\mu = -f(x_0, y_0, z_0)$

$M \in \tilde{h}^{-1}(\{0\})$ et la direction de \tilde{h} est $\langle \begin{pmatrix} \lambda(a-c) + \mu(a'-c') \\ \lambda(b-c) + \mu(b'-c') \end{pmatrix} \rangle$ qui est cohérente avec la direction de D et D'

$$\text{donc } D'' \subseteq \tilde{h}^{-1}(\{0\}).$$

de même, \tilde{h} est bien l'équation d'une droite en coordonnées barycentriques

$$\text{donc } \begin{vmatrix} a & a' & a'' \\ b & b' & b'' \\ c & c' & c'' \end{vmatrix} = 0$$



Léçon 181. Barycentre d'un op. affine R de l'espace affine. Cas où c'est compact.



Questions - développement

- Thm 46. Enoncé plus précis ?

→ $f' = \varphi^{-1}(c) = 0 \quad \varphi \in E'$

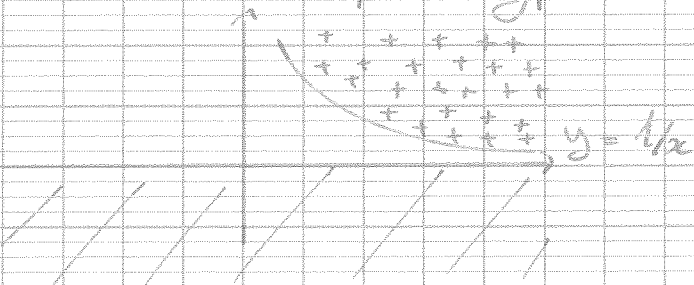
$C \subset \mathbb{R}^n / \varphi(C) \subset C'$

$K \subset \mathbb{R}^n / f(K) \supset C'$

Autre énoncé ?

→ Si (U_i) sont ouverts, que mu pas strictement

Cas de la courbe où on n'a plus l'hypothèse compacte !



Décomposition polaire. Preuve !

→ Résultat

Preuve: d'abord cas $A \in \mathbb{R}^{n \times n}$ (réel). $\forall A \in S_n^{++}(\mathbb{R})$,
 $S = \sqrt{A} = \sqrt{\lambda_1} \cdots \sqrt{\lambda_n} A^{-\frac{1}{2}}$

Puis identité des matrices inversibles

- Pourquoi $\mathrm{Onf}(R)$ compact ?

→ $f : R \rightarrow \mathrm{Onf}(R) \quad \mathrm{Onf}(R) = f^{-1}(\{T \in R \mid \text{fond loc.}\})$ fermé localement



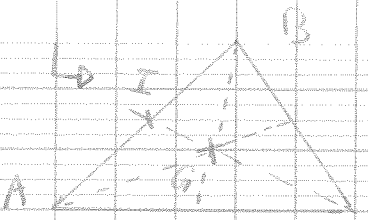
Questions - plan

- Topologie induite de E sur \mathcal{E} ?

→ $B(x, r) = \{y \in \mathcal{E} \mid \|x-y\| < r\}$

- Esp. normée → boules convexes

Appli 7. Preuve ?



$$G = \text{Bar}((A, 1), (B, 1), (C, 1))$$

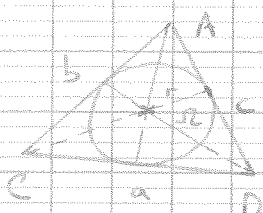
$$I = \text{Bar}((A, 1), (B, 1))$$

$$\text{Bar} \text{ add } G = \text{Bar}((I, 2), (C, 1))$$

$$\rightarrow G \subset (IC)$$

Exercice : donner les coordonnées des pts remarquables du triangle

• Médiatrices : centre du cercle inscrit $\rightarrow P(x, y, z)$



$$x = \frac{\vec{RA} + \vec{RC}}{2}, y = \frac{\vec{RA} + \vec{RB}}{2}$$

$$- \vec{AC}, \vec{AC})$$

coord bar.
ds(A,B,C)

$$z = \frac{\vec{RA} + \vec{RB}}{2}$$

$$- \vec{AB}, \vec{AC})$$

$$A_{ABC} = \frac{rc}{2} \quad A_{BCA} = \frac{ra}{2} \quad A_{ACB} = \frac{rb}{2}$$

$$(x, y, z) = \frac{(a, b, c)}{a+b+c}$$

• médianes : centre du cercle circonscrit



$$AP = BP = CP = R$$

$$\hookrightarrow \Delta ABC = \frac{b^2}{4 \tan B}$$

$$A\widehat{BC} = \widehat{B} \quad \tan \widehat{B} = \frac{b}{2RP}$$

$$RP = \frac{b}{2 \tan \widehat{B}}$$

$$\therefore (a^2 / \tan A, b^2 / \tan B, c^2 / \tan C)$$

$$\Sigma$$

Préuve du thm de L'Hopital ? (Thm 38)

$$\hookrightarrow P \in C(X) \quad P = \pi(x - x_i)^{m_i}$$

On peut se ramener au cas simple

$$Q = \frac{1}{\pi} \int_{-\infty}^{\infty} (x - x_i)$$

$$G(Q(x)) = \frac{1}{\pi} \int_{-\infty}^{\infty} \frac{1}{x - x_i}$$

$$G = \left(\frac{1}{\pi} \int_{-\infty}^{\infty} \frac{1}{x - x_i} \right) \frac{1}{\pi} \int_{-\infty}^{\infty} \frac{x_i}{(x - x_i)^2}$$

Rq: Pas besoin de distinguer le cas simple.

(III) Commentaires

- Prop de huit par aveugle dropper (ex: force exos, soit on en parle soit une trace parle)
- Appli 6: manque des preuves
- Bien définir le ns° (Hahn-Damodr.)

(IV) Ce qu'on pourrait mettre

- Individuel: long, court barre appui (ex: Hennings et loc), ex: Elliptique (ex: Hennings 1), convexité, long ou trapèze, enveloppe exos, Hm de projection et de type

Possible (Carathéodory, théorie des nbs (Hinterwile)), géométrique, force exos, réciprocité aux Hm de projec (un ensemble by profil pt au max un p qui minimise la distance \rightarrow alors exos), prolongent aux Hm de types ($P = (g_1, g_2, g_3, g_4)$)

$E = \text{ellipte de Steiner} \rightarrow$ unique ellipse tangent aux milieux des côtés
(Hm P' dont le foyer de l'ellipse A)

ab
mais
dans les
cercles.

W. Kef

Canal

Spirgiles

Lambe

Le Negauillen

+

Pergo

National

Eden

- axes

← appt. en Histoire du Monde

← es. triangle + Hendrik Conscience